

УДК 536.33

**РАДИАЦИОННО-КОНВЕКТИВНЫЙ ТЕПЛООБМЕН ПРИ ВДУВЕ
В ГИПЕРЗВУКОВОЙ СЖАТЫЙ СЛОЙ ДВУХФАЗНЫХ ПРОДУКТОВ
РАЗРУШЕНИЯ ПОКРЫТИЯ**

РОЛИН М. Н., ЮРЕВИЧ Ф. Б.

Рассматривается экранирование радиационного теплового потока в условиях гиперзвукового обтекания затупленных тел с разрушающимися покрытиями на основе углерода. В отличие от известных работ [1–3] учтено наличие в продуктах разрушения конденсированных микрочастиц. Задача о переносе излучения в слое двухфазных продуктов разрушения с параметрически заданными размерами, температурой частиц и толщиной слоя рассматривалась в [4]. В публикуемой работе использована замкнутая система уравнений, описывающих процессы тепло- и массообмена. Это привело к существенным различиям в численных результатах по степени экранирования.

1. Рассматривается течение в окрестности лобовой точки затупленного тела с разрушающимся покрытием на основе углерода, обтекаемого гиперзвуковым воздушным потоком. Предполагается, что при разрушении покрытия образуются не только газообразные, но и конденсированные продукты в виде частиц субмикронных размеров.

Закономерности движения, нагрева и испарения углеродистых микрочастиц, вдуваемых в излучающий сжатый слой, рассматривались в [5]. Полученные результаты показывают, что для углеродистых частиц субмикронных размеров в условиях, когда давление торможения равно 10^5 Па или превышает эту величину, а радиус затупления тела имеет величину порядка 1 м, можно пренебречь эффектом различия скоростей частиц и газа. Оказывается также, что частицы вследствие их сублимации не достигают точки встречи потоков, так что скачка параметров в ней не наблюдается.

Для описания течения в окрестности линии торможения используется система уравнений сохранения, аналогичная использованной в [3], но сформулированная для двухфазной среды с учетом различия температур частиц и газа

$$(\rho v)' + 2\rho\beta = 0 \quad (1.1)$$

$$\rho\beta^2 + \rho v\beta' = -\rho_\infty V_\infty^2 / R^2 + (\mu\beta')' \quad (1.2)$$

$$P' = 0 \quad (1.3)$$

$$\rho v H' = - \left(-\lambda T_g' + \sum_j H_j J_j + q_r \right)' \quad (1.4)$$

$$\rho v \alpha_{ek}' = - \sum_j \gamma_{kj} J_j \quad (1.5)$$

Здесь $\beta = \partial u / \partial x$, штрих соответствует производной по поперечной координате сжатого слоя y ; x — продольная координата; u , v — продольная и поперечная компоненты скорости; H — удельная энталпия газопылевой

среды; T_g — температура газа; ρ , μ , λ — плотность, вязкость и теплопроводность среды; P — давление; α_{ek} — массовая концентрация химического элемента k в среде; J_j — диффузионный поток массы химического компонента j ; γ_{kj} — массовое содержание атомов химического элемента k в компоненте j ; H_j — удельная энталпия химического компонента j ; q , — радиационный тепловой поток; ρ_∞ , V_∞ — плотность и скорость набегающего потока; R — радиус затупления тела. Суммирование в (1.4)–(1.5) проводится по всем учитываемым химическим компонентам.

Предполагается, что в газовой фазе сжатого слоя устанавливается локальное термодинамическое равновесие и равновесный состав. Границные условия к (1.1)–(1.5) включает соотношения Рэнкина — Гюгонио на скачке уплотнения и условия прилипания и баланса массы химических элементов на стенке [3]. Принимается также, что температуры газа, частиц и стенки при $y=0$ равны. Массовая скорость вдува задается параметрически. Температура поверхности находится из кинетического уравнения для скорости сублимации [3]. В качестве исходных параметров задаются массовые концентрации и размеры частиц в момент отрыва от стенки.

Для описания сублимации частиц и их теплообмена со средой сжатого слоя используется система уравнений, предложенная в [5]. В ее основу положены выражения для столкновительного теплообмена частицы с газом из [6] и зависимость для скорости сублимации из [7], применимые в континуальных, переходных и кнудсеновских условиях. Из-за большого диапазона размеров частиц могут реализоваться все три случая. Конденсированная фаза представляется с помощью модели отдельных фракций. Форма частиц предполагается сферической. Таким образом, имеем

$$\rho_p v r_i' = G_i \quad (1.6)$$

$${}^4/{}_3 \rho_p v r_i H_{pi}' = Q_{si} + Q_{ri} - G_i \Delta H_{pi} \quad (1.7)$$

Здесь ρ_p — плотность частиц; r_i — их радиус; H_{pi} — удельная энталпия вещества частиц; G_i — плотность потока массы через поверхность частиц; ΔH_{pi} — тепловой эффект сублимации; Q_{si} , Q_{ri} — плотности потоков энергии через поверхность частиц за счет столкновений и излучения.

Индекс i соответствует фракции, к которой принадлежат частицы. Предполагается, что углеродистые частицы сублимируют с образованием компонентов C , C_2 и C_3 . Согласно [5], будем иметь

$$G_i = \sum_{k=1}^3 a_{mk} [P_k^\circ(T_{pi}) - P_k] \left[\varphi \left(1 + \frac{a_{mk} r_i}{2\pi D_{12}} \varphi \right) \right]^{-1}$$

$$Q_{si} = a_e \lambda (T_g - T_{pi}) \left[a_e r_i + 2 \frac{C_v + {}^4/{}_9 R^\circ L}{C_v + {}^1/{}_2 R^\circ} \right]^{-1}$$

$$L = \frac{\pi \mu}{\rho_g \varphi}; \quad \varphi = \sqrt{\frac{2\pi R^\circ T_g}{m_g}}$$

Здесь a_{mk} — коэффициенты аккомодации массы; $P_k^\circ(T_{pi})$ — давление насыщенных паров компонента при температуре T_{pi} ; P_k — парциальное давление компонента в сжатом слое; D_{12} — коэффициент бинарной диффузии для паров; индекс k соответствует номерам компонентов паров; a_e — коэффициент аккомодации энергии при столкновении; C_v — мольная теплоемкость газа в сжатом слое; L — средняя длина свободного пробега молекул; R° — универсальная газовая постоянная; ρ_g — плотность газовой фазы; m_g — ее средняя молекулярная масса.

Перенос излучения описывается с помощью модели бесконечного

плоскопараллельного слоя. Это дает

$$q_r = 2\pi \int_0^{\infty} d\lambda \int_{-1}^1 I_\lambda \mu d\mu \quad (1.8)$$

$$Q_{ri} = \int_0^{\infty} \sigma_{\lambda i} \left[\frac{1}{2} \int_{-1}^1 I_\lambda d\mu - B_\lambda(T_{pi}) \right] d\lambda \quad (1.9)$$

где λ — длина волны излучения; I_λ — интенсивность; μ — направляющий косинус для луча; $\sigma_{\lambda i}$ — сечение оптического поглощения для частицы; $B_\lambda(T_{pi})$ — функция Планка, взятая при температуре частицы.

Оптические свойства частиц рассчитываются по теории Ми с помощью методики, предложенной в [10]. Значения комплексного показателя преломления для углерода брались из [11].

Лучевая интенсивность определяется аналогично [4] с помощью уравнения переноса излучения, учитывающего анизотропное рассеяние. Коэффициенты вязкости, теплопроводности и диффузионные потоки определяются по методикам, использовавшимся ранее для расчетов тепло- и массообмена в чисто газовом сжатом слое [3]. Это допустимо, поскольку объемная доля частиц в сжатом слое мала.

Ниже используются новые данные по оптическим свойствам газообразных продуктов разрушения углеродистых материалов: для C_2 из [6] и для C_3 из [7].

2. Система уравнений, описывающих тепло- и массообмен в газопылевом излучающем сжатом слое, решается численно конечно-разностным итерационным методом. Каждая итерация состоит из трех этапов.

На первом этапе рассчитываются параметры термодинамического равновесия для газовой фазы, ее переносные коэффициенты и поле радиационных потоков в сжатом слое.

Для определения коэффициента оптического ослабления необходимы значения пространственной плотности частиц n_i . Поскольку частицы движутся вместе с газом, то выполняется очевидное соотношение

$$n_i/n_{iw} = \rho/\rho_w \quad (2.1)$$

где индексом w обозначены величины, характеризующие состояние газопылевой среды на стенке.

Отсюда следует, что $n_i = \frac{3}{4}\pi(\alpha_{pw}r_{wi}^3)(\rho/\rho_p)$, где α_{pw} — массовая концентрация частиц i -й фракции во вдуваемой газопылевой смеси; r_{wi} — начальный радиус частиц фракции.

Уравнение переноса излучения решается методом [4], но при этом используется сквозной счет поперек всего сжатого слоя, а не только той его части, где находятся микрочастицы. Селективность учитывается с помощью численного интегрирования по спектру в (1.8)–(1.9). В связи с наличием линейчатой составляющей излучения это приводит к необходимости решения уравнения переноса для 3000–4000 значений длины волны. На втором этапе интегрируются уравнения (1.6)–(1.7) для радиусов и удельных энталпий микрочастиц. Это позволяет получить значения массовой концентрации и энталпии конденсированной фазы.

Очевидно, что $\alpha_{pi} = \frac{4}{3}\pi r_i^3 \rho_p n_i$. Подстановка этого выражения в последнюю формулу (2.1) дает $\alpha_{pi} = \alpha_{pw} (r/r_{iw})^3$.

Энталпия конденсированной фазы определяется как $H_p = \sum_i \alpha_{pi} H_{pi}$,

где суммирование проводится по фракциям микрочастиц. Температура микрочастиц определяется в соответствии с H_{pi} по термодинамическим соотношениям.

На этом этапе полная удельная энталпия конденсированной газопы-

левой среды считается фиксированной, вследствие чего изменение энталпии конденсированной фазы приводит к изменению энталпии газа, которая находится по формуле

$$H_g = \frac{H - H_p}{1 - \alpha_p}, \quad \alpha_p = \sum_i \alpha_{pi}$$

где α_p — полное массовое содержание конденсированной фазы. Общее число фракций задавалось равным 20.

На третьем этапе производится итерационное уточнение системы уравнений сохранения для газопылевой среды в целом (1.1)–(1.4). При этом, однако, концентрация и энталпия конденсированной фазы фиксированы, а поправки к полной энталпии и концентрациям химических элементов относятся к газовой фазе.

V_∞	f	α_{pw}	r_w, r_*	b	ψ	V_∞	f	α_{pw}	r_w, r_*	b	ψ
18	0,14	0,1	0,1	—	0,04	18	0,14	0,3	0,1	4	0,12
18	0,14	0,2	0,1	—	0,09	15	0,07	0,1	0,1	—	0,03
18	0,14	0,3	0,1	—	0,13	15	0,07	0,2	0,1	—	0,06
18	0,14	0,4	0,1	—	0,18	15	0,07	0,3	0,1	—	0,08
18	0,14	0,3	0,05	—	0,15	12	0,016	0,1	0,1	—	0,011
18	0,14	0,3	0,3	—	0,11	12	0,016	0,2	0,1	—	0,016
18	0,14	0,3	0,9	—	0,05	12	0,016	0,3	0,1	—	0,023
18	0,14	0,3	0,2	4	0,10						

Решение находится после многократных итераций с использованием релаксации параметров.

3. Расчеты теплообмена проведены для следующих условий: скорость набегающего потока $V_\infty=12\text{--}18$ км/с, давление торможения $P=10^5$ Па, радиус затупления тела $R=1$ м. Массовые скорости вдува задавались близкими к тем, что имеют место при установленном режиме разрушения. Часть расчетов проведена для монодисперсных частиц.

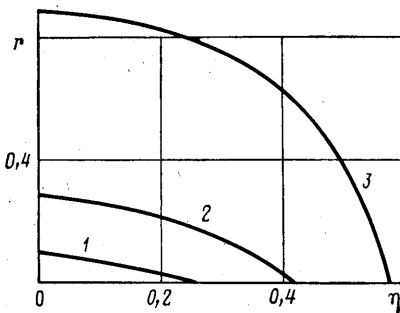
Массовая скорость вдува определяется безразмерным параметром $f=(\rho v)_w/(\rho V)_\infty$. Влияние конденсированной фазы на тепловые потоки можно характеризовать величиной ψ — отношением значения, на которые уменьшается радиационный поток к поверхности при наличии микрочастиц, к потоку в случае чистого газового вдува. Начальная массово-доловая функция распределения по размерам для полидисперсных частиц задается выражением вида $w(r)=Ar^{b+3}\exp(-br/r_*)$.

Результаты проведенной серии расчетов представлены в таблице. Значения V_∞ даны в км/с, r_w для монодисперсных частиц или r_* для полидисперсных — в мкм, для полидисперсных частиц задан также параметр b .

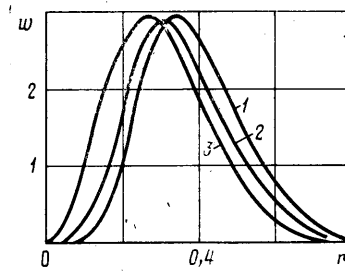
Полученные значения ψ указывают на менее сильное влияние вдува микрочастиц на экранирование излучения, чем результаты [4]. Так, в условиях $V_\infty=18$ км/с; $f=0,14$; $r_w=0,1$ мкм ψ оказывается в 2–3 меньше, чем в [4].

Это обусловлено приближенным характером использованной в [4] модели двухфазного слоя с постоянными по всей толщине слоя размерами и концентрацией частиц. Отличающейся от [4] оказалась и сама толщина двухфазного слоя, так как в [4] эта величина задавалась согласно данным [5], где рассматривалось испарение отдельных частиц. Наличие же конечных концентраций конденсированной фазы при заданном параметре f приводит к уменьшению скорости течения среды в целом, увеличению ее плотности и к снижению эффекта оттеснения горячего внешнего потока.

Кроме того, в настоящей работе учтено дополнительное по сравнению с [5] поглощение излучения системой электронно-колебательных полос молекул C_3 . Это привело к увеличению расчетных значений температуры в слое продуктов разрушения, а следовательно, к более быстрому испарению частиц.



Фиг. 1



Фиг. 2

Ход уменьшения радиусов частиц при их движении в сжатом слое показан на фиг. 1 с использованием координаты

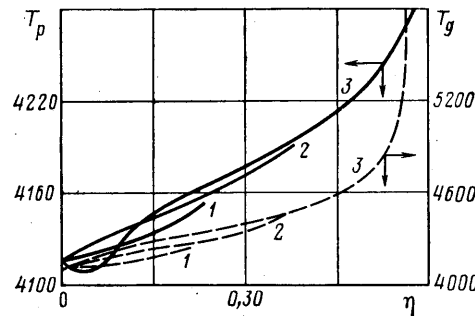
$$\eta = \left(\int_0^{y_s} \rho dy' \right)^{-1} \left(\int_0^y \rho dy' \right)$$

где y_s соответствует положению скачка уплотнения. Кривые относятся к случаю монодисперсных частиц и условиям $V_\infty = 18$ км/с; $f = 0,14$; $\alpha_{pw} = 0,3$. Величина r дана в мкм. Для сравнения можно отметить, что в [4] толщина двухфазного слоя соответствует $\eta = 0,44$.

В случае полидисперсных частиц их испарение можно характеризовать изменением функции распределения по размерам. На фиг. 2 показаны функции распределения (в мкм⁻¹) для трех точек сжатого слоя при условиях $V_\infty = 18$ км/с; $f = 0,14$; $\alpha_{pw} = 0,3$. Функция распределения частиц по размерам в начальном состоянии определяется параметрами $b = 4$ и $r_* = 0,2$ мкм. Непрерывные кривые получены путем сглаживания данных по массовым концентрациям для дискретных фракций. Кривые 1–3 относятся соответственно к точкам с координатами $\eta = 0; 0,184; 0,394$.

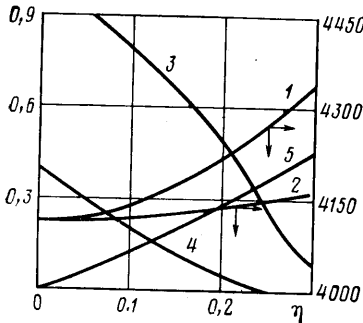
На фиг. 3 показан ход изменения температуры монодисперсных частиц T_p , К при их движении поперек сжатого слоя. Условия и шифр кривых те же, что и на фиг. 1. С целью сравнения здесь же приведен профиль температуры газовой фазы T_g , К (штриховые линии). Видно, что имеет место значительное различие температур частиц и газа.

Для относительно крупных частиц температура после отрыва от стенки снижается. Причины этих эффектов указаны в [5]. Для относительно мелких частиц спада температуры нет. Это обусловлено тем обстоятельством, что в нагреве мелких частиц значительную роль играют молекулярные столкновения. В то же время в рассматриваемом варианте задачи имеет место более крутой, чем в [5], профиль температуры газа в пристеночной области, что связано с учетом поглощения на частицах конденсированной фазы. Целесообразно более детально рассмотреть вариант расчета с максимальной концентрацией частиц: $V_\infty = 18$ км/с; $r_w = 0,1$ мкм; $\alpha_{pw} = 0,4$. На фиг. 4 приведены профили температуры газа (кривая 1) и частиц (кривая 2) в К, безразмерного радиуса частиц r/r_w (кривая 3) и их массовой концентрации α_p (кривая 4), а также зависимость физической координаты $(y/y_s) \cdot 10$ от η (кривая 5). В данных условиях $y_s = 4,34$ см.

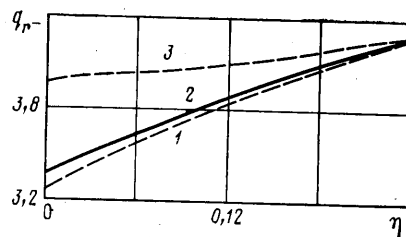


Фиг. 3

На фиг. 5 для этого же варианта задачи приведены профили односторонних, направленных в сторону поверхности радиационных потоков q_r , в $10^7 \text{ Вт}/\text{м}^2$. При этом радиационные потоки берутся интегральными по спектру для длин волн, превышающих 0,12 мкм. Более коротковолновое излучение учтено в расчетах, но вклад его в иллюстративных данных отброшен, так как оно полностью поглощается газовой фазой продуктов разрушения. Кривая 1 соответствует расчетам, проведенным с учетом



Фиг. 4



Фиг. 5

поглощения и рассеяния на частицах. Кривая 2 получена в предположении о том, что частицы чисто поглощающие. Кривая 3 соответствует расчету, в котором учитывалось только поглощение излучения парами покрытия. Видно, что эффект экранирования радиационного потока к поверхности конденсированной фазой примерно на 15% обусловлен рассеянием, хотя доля рассеяния в полном сечении ослабления для углеродистых частиц невелика.

Вследствие большой трудоемкости расчетов радиационно-конвективного теплообмена при наличии двухфазного слоя продуктов разрушения число исследованных вариантов задачи невелико. Это затрудняет обобщение закономерностей влияния вдува конденсированных частиц на теплообмен.

ЛИТЕРАТУРА

- Биберман Л. М., Бронин С. Я., Брыкин М. В., Мнацаканян А. Х. Влияние газообразных продуктов разрушения теплозащитного покрытия на теплообмен в окрестности критической точки затупленного тела. — Изв. АН СССР. МЖГ, 1978, № 3, с. 129–136.
- Кондранин Т. В., Кузьминский И. Н. Влияние линейчатого спектра на лучистый теплообмен в ударном слое. — Теплофиз. высоких температур, 1981, т. 19, № 4, с. 777–785.
- Rolin M. N., Soloukhin R. I., Yurevich F. B. Heat and mass transfer in an emitting compressed layer with reflection from the body surface and injection of ablation products. — Int. J. Heat Mass Transfer, 1981, v. 24, № 11, p. 1771–1782.
- Юревич Ф. Б. Радиационный теплообмен в излучающем, поглощающем и рассеивающем сжатом слое. — Изв. АН СССР. МЖГ, 1984, № 2, с. 94–103.
- Юревич Ф. Б., Ролин М. Н. Образование двухфазного пристеночного слоя в условиях радиационно-конвективного нагрева при гиперзвуковом обтекании. — Изв. АН БССР. Сер. физ.-энерг. наук, 1982, № 2, с. 60–65.
- Кошмаров Ю. А., Рыжов Ю. А. Прикладная динамика разреженного газа. М.: Машиностроение, 1977. 184 с.
- Яламов Ю. И., Шукин Е. Р., Уварова Л. А. Теория испарения капель произвольных размеров в поле электромагнитного излучения. — Инж.-физ. журн., 1978, т. 34, № 3, с. 439–443.
- Кузнецова Л. А., Кузьменко Н. Е., Кузяков Ю. Я., Пластинин Ю. А. Вероятности оптических переходов двухатомных молекул. М.: Наука, 1980. 319 с.
- Arnold J. O., Cooper D. M. Line – by – line transport calculations for Jupiter entry probes. — AIAA Pap., 1979, № 1082, p. 1–16.
- Дейрменджан Д. Рассеяние электромагнитного излучения сферическими полидисперсными частицами. М.: Мир, 1971. 165 с.
- Блох А. Г. Тепловое излучение в котельных установках. Л.: Энергия, 1967. 326 с.

Поступила в редакцию
23.X.1984